

The Effect of Granulosa Cells Co-culture and Retinoic Acid on Maturation and Development of Immature Mouse Oocytes In Vitro

Eimani H., Ph.D. *, Tahaei L S., M.Sc., Parivar K., Ph.D. , M. Rezazadeh, Ph.D., Kazemi S., Ph.D., Shahverdi A., Ph. D, Eftekhari P., Ph. D., Baharvand H., Ph.D.

* P.O.Box: 19395 – 4644, Embryology Department, Royan Institute, Tehran, Iran

Abstract

Purpose: The purpose of this study was to develop an appropriate medium for in vitro maturation (IVM) of immature mouse oocytes.

Materials and Methods: Germinal vesicle of female NMRI mouse oocytes (6-8 weeks old) were collected from ovaries and cultured in maturation medium MEM- α , supplemented with: 100 mIU/ml rFSH + 7.5 IU/ml hCG + 5% FCS (Control group) and 2 μ M all-trans retinoic acid (t-RA) in presence or absent of granulose cells. Ethanol (Sham group) 0.2% (v/v) used as solvent. After 24 hours the matured oocytes were fertilized with spermatozoa in T6 medium and cultured for 5 days. Cultured immature oocytes development to the morula and blastocyst stages was studied.

Results: The retinoic acid supported progression and resumption of meiosis and also increased advancing the oocytes to Metaphase II, formation of morula and blastocyst compared to control group. When there were not 2 μ M t-RA and granulose cells in IVM medium, significantly lower maturation rates were observed, followed by a decrease in the percentage of embryos reaching the blastocyst stage. Whereas, when 2 μ M t- RA and granulose cells monolayer were present in the IVM medium, better results in comparison with control group were obtained.

Conclusion: Results attest that co-culture of granulose cells with 2 μ M all-trance retinoic acid during in vitro maturation enhanced mouse oocytes maturation and improved embryonic development.

Key words: Granulose cells, Retinoic acid, In vitro maturation, Mouse, Oocytes

تأثیر هم کشتی سلولهای گرانولوزا و رتینوئیک اسید بر بلوغ و تکوین تخمکهای نارس موش در محیط آزمایشگاه

حسین ایمانی Ph.D.^{*}، لیلا السادات طاهایی M.Sc.^{**}، کاظم پریور Ph.D.^{***}، مجتبی رضا زاده Ph.D.^{*}، سعید کاظمی

آشتیانی Ph.D.^{*}، عبدالحسین شاهوری M.Sc.^{*}، پوک افتخاری Ph.D.^{*}، حسین بهاروند Ph.D.^{****}

* گروه جنین شناسی پژوهشکده رویان

** گروه آنا تومی دانشکده پزشکی دانشگاه بقیه الله

*** گروه زیست شناسی جانوری، دانشکده علوم پایه، واحد علوم و تحقیقات دانشگاه آزاد اسلامی پونک

**** گروه سلولهای بنیادی پژوهشکده رویان

تاریخ وصول: اردیبهشت‌ماه ۸۶، تاریخ پذیرش: تیرماه ۸۶

چکیده

هدف: بهبود محیط کشت بلوغ آزمایشگاهی (IVM) تخمکهای نارس با هم کشتی سلولهای گرانولوزا و رتینوئیک اسید مواد و روشها: تحقیق حاضر به روش تجربی انجام شد. تخمکهای نابالغ از تخدمنهای موشهای ماده نژاد NMRI در سن ۶-۸ هفتگی از تخدمنهای جمع آوری شدنده و در محیط بلوغ (Eagle MEM- α 's Minimum Essential Medium; MEM- α) حاوی ۱۰۰ میلی IU در میلی لیتر rFSH (recombinant Follicle Stimulating Hormone) ۷/۵ IU در میلی لیتر hCG (human Chorionic Gonadotropin) ۵ درصد FCS (Fetal Calf Serum)، ۲ میکرومولار رتینوئیک اسید همه ترانس (t-RA: All-trans Retinoic Acid) و سلولهای گرانولوزا کشت شدند. اتابل ۰/۲ درصد (گروه شم) به عنوان حلال انتخاب شد. پس از گذشت ۲۴ ساعت، تخمکهایی که بلوغ یافته بودند، در محیط T6 با اسپرم لقادیر یافتند و برای مدت ۵ روز کشت داده شدند. سپس تکوین آنها به مراحل مورولا و بلاستوسیست مورد مطالعه قرار گرفت.

یافته‌ها: رتینوئیک اسید پیشرفت و از سرگیری میوز را حمایت می‌کند و بلوغ تخمک، تشکیل مورولا و بلاستوسیست را نسبت به گروه کنترل افزایش می‌دهد. زمانی که ۲ میکرو مولار t-RA و سلولهای گرانولوزا در محیط کشت IVM حضور نداشتند از لحظه آماری میزان بلوغ کمتری مشاهده شد و در پی آن درصد جنینهایی که به مرحله بلاستوسیست رسیدند کاهش پیدا کردند. در حالی که با حضور ۲ میکرو مولار t-RA و سلولهای گرانولوزا در محیط کشت IVM (In-Vitro Maturation) نتایج بهتری در مقایسه با گروه کنترل به دست آمد.

نتیجه‌گیری: نتایج به دست آمده نشان می‌دهد، هم کشتی سلولهای گرانولوزا همراه با ۲ میکرومولار رتینوئیک اسید طی بلوغ آزمایشگاهی تخمکهای نارس موش، سبب افزایش بلوغ و بهبود تکوین جنینهای حاصل از آنها می‌شود.

کلید واژه‌ها: سلولهای گرانولوزا، رتینوئیک اسید، بلوغ آزمایشگاهی، موش، تخمک نارس

مقدمه

تشکیل یا تغییر الگوی فعالیت زن عمل می‌کند، می‌تواند بلوغ سیتوپلاسمی و ظرفیت تخمک را برای پیشرفت در رشد و نمو تحت تأثیر قرار دهد [۱۱]. افروden ۵ نانو مولار^۹ سیس-رتینوئیک اسید در هنگام پیش بلوغ کمپلکس‌های تخمک - کومولوس گاوی (COC)^۱ در حضور روسکویتین بلوغ سیتوپلاسمی را بهبود می‌بخشد [۹]. از طرف دیگر سلولهای کومولوس گاوی گیرنده‌های رتینوئید فعال درون زاد دارند و بنابراین ممکن است قادر به سنتز رتینوئیک اسید به وسیله پیش ساز رتینول باشند [۱۲]. بر اساس این مطالعه و مطالعات قبلی [۱۳]، فرض بر این است که سلولهای گرانولوزا ممکن است هدفهایی برای رتینوئیک اسید افزوده شده در هنگام بلوغ تخمک نارس در آزمایشگاه باشد. پس در این مطالعه با به کارگیری همزمان هم کشتی سلولهای گرانولوزا و رتینوئیک اسید درصد اصلاح محیط کشت بلوغ آزمایشگاهی و میزان بلوغ تخمک نارس و رشد و نمو جنبن حاصل بررسی شد.

مواد و (وشنا)

نحوه تهیه مونولایر از سلولهای گرانولوزا

موشهای سوری نژاد NMRI به وزن تقریبی ۲۵-۳۰ گرم برای مطالعه، تحریک تخمک‌گذاری و تهیه کمپلکس‌های تخمک - کومولوس انتخاب شدند. برای تحریک تخمک‌گذاری (ip: PMSG ۷/۵ IU و hCG ۷/۵ IU) به طریق تزریق درون صفاقی^۱ و ۴۸ ساعت بعد نیز به همان روش intraperitoneal تزریق شد. ۱۶-۱۴ ساعت بعد، لوله‌های اویداکت به طریق استریل جدا و پس از تشریح، تخمکها همراه با سلولهای کومولوسی جدا شدند. سپس کمپلکس‌های تخمک - کومولوس درون ظروف کشت چهارول حاوی محیط کشت

در موارد سخت بالینی، مانند بیماران ستردرم پلی کیستیک (PCO: Polycystic Ovarian Syndrome) یا پاسخ دهنده‌گان ضعیف که واکنش‌شان به تحریک تخدمانی بسیار ضعیف است، استفاده از تکنولوژیهای تولید مثلی که مستلزم افزایش تحریک تخدمانی یا جمع آوری تخمکهای نابالغ و بلوغ آنها در آزمایشگاه است، سبب اختلال در مراحل بلوغ و منجر به تخمکهایی با کیفیت پایین می‌شود [۱۰-۱۲]. بنا براین به کارگیری روش‌های بلوغ آزمایشگاهی که قابلیت تخمکها را برای لقاح و رویان زایی حفظ کند لازم است [۱۳]. تعدادی از مطالعات انجام شده حکایت از تأثیر مفید هم کشتی سلولهای سوماتیکی تک لایه ای، بر بلوغ تخمک و تکوین جنینهای پستانداران در آزمایشگاه دارد [۴ و ۵] و باعث برداشت مواد سیتو توکسیکی از محیط‌های کشت به وسیله این سلولها می‌شود. از دیگر مزایای سیستم هم کشتی ثابت کردن یا تغییر شرایط فیزیکو شیمیایی محیط کشت همچون pH محیط یا غلاظت اکسیژن و دی اکسید کربن است. [۶ و ۷] سلولهای سوماتیکی مورد استفاده در هم کشتی، سلولهای اویداکتی، سلولهای رحمی، سلولهای اپیتلیال کبدی میمون سبز آفریقایی (Vero cell) [۵] و سلولهای گرانولوزا است [۸]. این مطالعه در جستجوی روشی برای بهبود بلوغ آزمایشگاهی (IVM) در مدل موشی است. بنابراین تأثیرات هم کشتی با گرانولوزا در بلوغ میوزی بر تخمکهای برهمه بررسی می‌شود و اصلاحاتی در محیط کشت برای افزایش (IVM) صورت می‌گیرد مانند استفاده از رتینوئیدها. رتینوئیدها خانواده بزرگی از ترکیبات طبیعی و ترکیبات خویشاوند با ویتامین A (All-trans Retinol) هستند [۹] که به عنوان تنظیم کننده مهره رشد و نمو مهره داران، تمایز سلولی و عملکرد بافت شناخته شده اند [۱۰]. نوع همه ترانس، از جمله مهمترین رتینوئیدها در تشکیل جنبن مهره داران است. از آنجایی که روی سلولها برای

1. Cumulus-Oocyte Complex

تصادفی به گروههای آزمایشی اختصاص داده شدند. حداقل ۱۱ تکرار جمع آوری تخمکها بی GV و کشت آنها برای هر گروه انجام شدند.

گروه کنترل ۱: تخمک نارس از موشهای طبیعی گرفته و در محیط MEM- α حاوی ۱۰۰ میلی IU در میلی لیتر rFSH، ۵ IU در میلی لیتر hCG و ۵ درصد FCS، قرار داده شد. گروه کنترل ۲: ۴۵۱ تخمک نارس در محیط بلوغ MEM- α حاوی ۱۰۰ میلی IU در میلی لیتر rFSH، ۷/۵ IU در میلی لیتر hCG، ۵ درصد FCS و تک لایه ای از سلولهای گرانولوزا قرار داده شد.

گروه شم: ۵۲۰ تخمک نارس در محیط بلوغ MEM- α حاوی ۱۰۰ میلی IU در میلی لیتر rFSH، ۷/۵ IU در میلی لیتر hCG، ۵ درصد FCS و ۰/۲ درصد (حجمی/حجمی) اتانل مطلق قرار داده شد.

گروه آزمون ۱: ۵۳۴ تخمک نارس در محیط بلوغ MEM- α حاوی ۱۰۰ میلی IU در میلی لیتر rFSH، ۷/۵ IU در میلی لیتر hCG، ۵ درصد FCS و ۲ میکرومولار رتینوئیک اسید همه ترانس قرار داده شد.

گروه آزمون ۲: ۴۴۴ تخمک نارس در محیط بلوغ MEM- α حاوی ۱۰۰ میلی IU در میلی لیتر rFSH، ۷/۵ IU در میلی لیتر hCG، ۵ درصد FCS، ۲ میکرومولار رتینوئیک اسید همه ترانس و تک لایه ای از سلولهای گرانولوزا قرار داده شد. رتینوئیک اسید همه ترانس در اتانل ۰/۲ درصد (حجمی/حجمی) حل و درون اپندوروف پوشیده با کاغذ آلومینیوم در دمای ۲۰ - درجه سانتی گراد درون فریزر نگهداری شد. سپس به کمک محیط کشت MEM- α غلاظت ۲ میکرو مولار تهیه و استفاده شد. قابل ذکر است طول عمر نگهداری رتینوئیک اسید در شرایط فعلی یک ماه است. رتینوئیک اسید تنها در مرحله بلوغ تخمک اعمال شد و تخمکهای هر گروه به مدت ۲۴ ساعت در داخل انکوباتور ۳۷ درجه سانتی گراد با ۵ CO₂ درصد قرار داده شدند. سپس با میکروسکوپ معکوس،

DMEM F12 (Dulbecco's Modified Eagle's Medium Nutrient Mixture F-12 HAM; DMEM F12) گذشت ۳ تا ۴ روز محیط کشت تعویض شد و سلولهای مرده و آنهایی که قادر به چسبیدن به کف چهارول نبودند دفع و سپس محیط تازه اضافه شد. این روند تا رسیدن به مرحله تشکیل یک بستره سلولی تک لایه ادامه یافت. سپس محیط کشت قبلی حذف و محیط کشت بلوغ حاوی ۱۰۰ میلی IU در میلی لیتر rFSH، ۷/۵ IU در میلی لیتر hCG، ۵ درصد FCS، رتینوئیک اسید همه ترانس در دوز ۲ میکرومولار و اتانل مطلق (گروه شم) به عنوان حلال در دوز ۰/۲ درصد(حجمی/حجمی) به این بستره مونولایری اضافه شدند.

جداسازی تخمکهای GV نابالغ در موش

در این تحقیق از موشهای ماده نژاد NMRI در سن ۶ تا ۸ هفته‌ای تهیه شده از انستیتو پاستور ایران استفاده شد. موشهای به روش جابه‌جایی مهره‌های گردنی کشته شده و تخدمان آنها در شرایط حتی المقدور استریل از بدن خارج و پس از انتقال به درون قطرات ۱۰۰ میکرولیتری محیط کشت Gibco, M-0644) MEM- α (Sigma, ۱۰۲۷۰-۱۰۶)، چربیهای اضافی اطراف تخدمان حذف و سپس به درون قطرات ۱۳۰ میکرولیتری انتقال داده شد. تخمکهای نارس حاوی ژرمنال وزیکول همراه با سلولهای گرانولوزا جدا شده و سپس با روش پیپت‌کردن سلولهای گرانولوزای اطراف آنها برداشته شدند. با استفاده از لنز مدرج در زیر میکروسکوپ معکوس تخمکهای نارس با اندازه تقریبی ۶۰-۶۵ میکرون و سیتوپلاسم روشن، قشر شفاف

(ZP: Zona Pelucida) یکنواخت با فضای پیش زردهای (Pervettline) مناسب به مونولایرهای گرانولوزا حاوی محیط کشت بلوغ مطابق گروههای زیر اضافه شدند.

طراحی گروهها

تخمکهای GV نابالغ جمع آوری شده از چندین ماده به طور

اختلاف با $p < 0.05$ به عنوان تفاوت معنی دار در نظر گرفته شد.

یافته ها

با بررسیهای انجام شده روی گروههای کنترل ۱، کنترل ۲، شم، آزمون ۱ و آزمون ۲ نتایج زیر حاصل شد. درصد تخمکهای باقیمانده در مرحله GV در گروه کنترل ۱، کنترل ۲، شم و گروههای آزمون به ترتیب $23/6$ ، $25/38$ ، $15/29$ ، $9/73$ و $5/85$ بود که نشان داد، درصد تخمکهای باقیمانده در مرحله GV در گروه ۲ میکرومولار رتینوئیک اسید با هم کشته سلولهای گرانولوزا نسبت به سایر گروهها کمتر است. در نتیجه تخمکهای باقیمانده در مرحله GV در گروه کنترل ۲ نسبت به گروه کنترل ۱ کاهش معنی داری مشاهده شد ($p < 0.001$). همچنین در گروه آزمون ۲ نسبت به گروه آزمون ۱ ($p < 0.05$) و گروه آزمون ۱ نسبت به گروههای (کنترل ۱، کنترل ۲ و شم) کاهش معنی داری مشاهده شد ($p < 0.0001$). درصد ازسرگیری میوز در گروه کنترل ۱ و ۲، شم و دو گروه آزمون به ترتیب $76/4$ ، $84/70$ ، $60/8$ و $65/18$ و $78/27$ و $80/18$ بود. نرخ از تکوین سرگیری میوز در گروه آزمون ۲ نسبت به گروه آزمون ۱ افزایش معنی داری نشان داد ($p < 0.05$). همچنین نرخ از سرگیری میوز در گروههای آزمون ۱ و ۲ نسبت به گروههای کنترل ۱ و ۲ و گروه شم افزایش معنی داری را نشان داد ($p < 0.0001$). نرخ بلوغ تکوین در گروههای آزمون ۱ و ۲ نسبت به گروههای کنترل (۱ و ۲) و شم افزایش معنی داری داشت ($p < 0.0001$). مقایسه نتایج به دست آمده از لقاح و تکوین جنینهای حاصل از تخمکها در ۵ گروه نشان داد که نسبت جنینهای رسیده به مرحله ۲ سلولی ۲۴ ساعته در گروه آزمون ۲ نسبت به گروه کنترل ۲ ($p < 0.01$) و نسبت به گروه کنترل ۱ ($p < 0.001$) و نسبت به گروه شم ($p < 0.0001$) افزایش

مراحل بلوغ آزمایشگاهی و ازسرگیری میوز در تمام گروهها بررسی شد. تخمکهای بدون تغییرشکل در هسته را به عنوان Germinal Vesicle (GV)، تخمکهای با هسته شکسته شده و (GVBD) نشانه شروع تقسیم میوز به عنوان Break down) و تخمکهای بالغ به عنوان MII شناسایی شد.

لقاح و تکوین تخمکهای بالغ شده

ابتدا موشهای نژاد NMRI به روش جا به جایی مهره های گردنبه کشته شدن، دم اپیدیدیم آنها جدا و به قطرات ۵۰۰ میکرولیتری محیط کشت T6 حاوی ۱۵ میکروگرم سرم آلبومین گاوی (BSA: Bovine Serum Albumin) در هر میلی لیتر منتقل شدند. سپس نمونه ها به مدت ۱ ساعت در داخل انکوباتور 37°C درجه سانتی گراد حاوی 5 CO_2 درصد انکوبه شد. با انتقال اسپرمهای فعال و سالم از کناره قطره (در هر میلی لیتر 1×10^6 عدد اسپرم) به داخل قطرات T6 حاوی ۱۵ میلی گرم بر میلی لیتر BSA، تخمکهای اسپرمهای بالغ شده نیز به آنها منتقل شد. پس از گذشت ۶-۴ ساعت اسپرمهای از طراف تخمکها شستشو شدند. زایگوتهای تشکیل شده از محیط فعلی به قطرات محیط T6 حاوی ۴ میلی گرم بر میلی لیتر BSA منتقل شدند. وضعیت جنینها پس از 24 ، 48 ، 72 ، 96 و 120 ساعت به وسیله میکروسکوپ معکوس برای ثبت مرحله تکوین جنین مشاهده و جنینهای دژنره از محیط خارج شدند. به همین ترتیب جنینهای متوقف شده، به قطرات دیگر منتقل شدند و جنینهای سالم تا رسیدن به مرحله بلاستوسیست در محیط خود باقی گذاشته شدند.

آزمون آماری

با توجه به اینکه در این مطالعه متغیرها کیفی بودند و ملاک تعداد کل سلولها بود، برای بررسی ارتباط بین گروهها از برنامه SPSS و با روش آماری Chi-Square استفاده شد،

ساعت پس از لقاح در گروه آزمون ۲ نسبت به گروه کنترل ۱ ($p<0.001$)، نسبت به گروه کنترل ۲ ($p<0.05$) و نسبت به گروه شم ($p<0.0001$) افزایش معنی داری را نشان داد (به شکل ۱، جدول ۱ و نمودارهای ۱ و ۲ مراجعه شود).

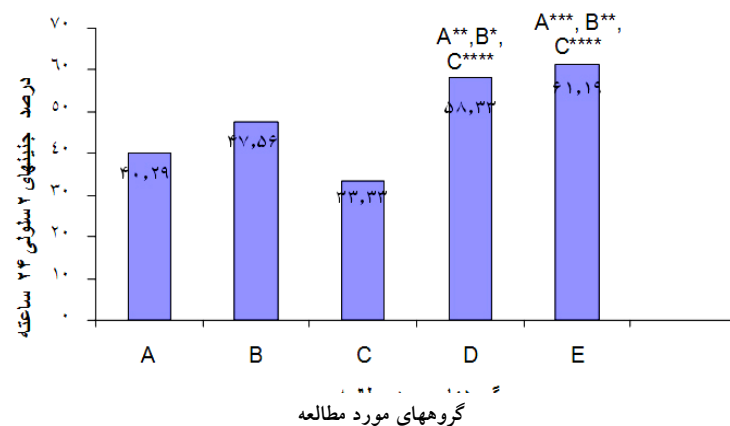
معنی داری داشت. چنینهایی که به مرحله مورولا رسیده بودند در ۱۲۰ ساعت پس از لقاح در گروه آزمون ۲ نسبت به گروه آزمون ۱ و گروه شم، همچنین در گروه آزمون ۱ نسبت به گروه کنترل ۲ افزایش معنی داری مشاهده شد ($p<0.05$). چنینهایی که به مرحله بلاستوسیست رسیده بودند در ۱۲۰

جدول ۱. مقایسه بلوغ آزمایشگاهی تخمکهای نارس موش در محیط بلوغ MEM- α حاوی ۱۰۰ میلی IU در میلی لیتر rFSH و ۷/۵ IU در میلی لیتر hCG در گروههای مختلف FCS و درصد

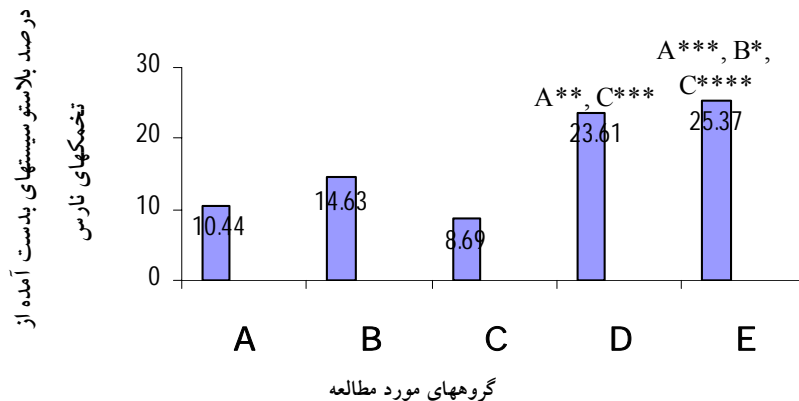
ساعت پس از کشت				روند		
GVBD+ MII (%)	MII (%)	GVBD (%)	GV (%)	باز تخمک	باز مصربن (باختلاط)	باز مصربن (باختلاط) / باز مصربن (باختلاط)
d*** ۳۸۲ (۷۶/۴)	۳۰۴ (۶۰/۸)	۷۸ (۱۵/۶)	d*** ۱۱۸ (۲۳/۶)	.	.	۵۰۰
۳۸۲ (۸۴/۷۰)	۲۹۴ (۶۵/۱۸)	۸۸ (۱۹/۵۱)	۶۹ (۱۵/۲۹)	.	.	۴۵۱
b**** ۳۸۸ (۷۴/۶۱)	۳۱۲ (۶۰)	b* ۷۶ (۱۴/۶۱)	b**** ۱۳۲ (۲۵/۳۸)	.	۰/۲	۵۲۰
(a, b)**** ۴۸۲ (۹۰/۲۶)	(a, b)**** ۴۱۸ (۷۸/۲۷)	a*, b*** ۶۴ (۱۱/۹۸)	c*, b** ۵۲ (۹/۷۳)	۲	۰/۲	۵۳۴
آزمون ۲ (هم کشته با گرانولوزا)				آزمون ۲ (هم کشته با گرانولوزا)		
(a, b)**** ۴۱۸ (۹۴/۱۴)	(a, b)**** ۳۵۶ (۸۰/۱۸)	b* ۷۲ (۱۳/۹۶)	(a, b)*** ۲۶ (۵/۵۸)	۲	۰/۲	۴۴۴

GV: حباب زاینده (تخمک نارس هسته دار)، GVBD: حباب زاینده خورد شده، MII: تخمک در مرحله متافاز II، GVBD + MII: تخمک در مرحله سرگیری میوز، اختلاف با گروه کنترل ۱ معنی دار است = a، اختلاف با گروه کنترل ۲ معنی دار است = b، اختلاف بین گروه آزمون ۱ با ۲ معنی دار است = c، اختلاف بین گروه کنترل ۱ با ۲ معنی دار است = d

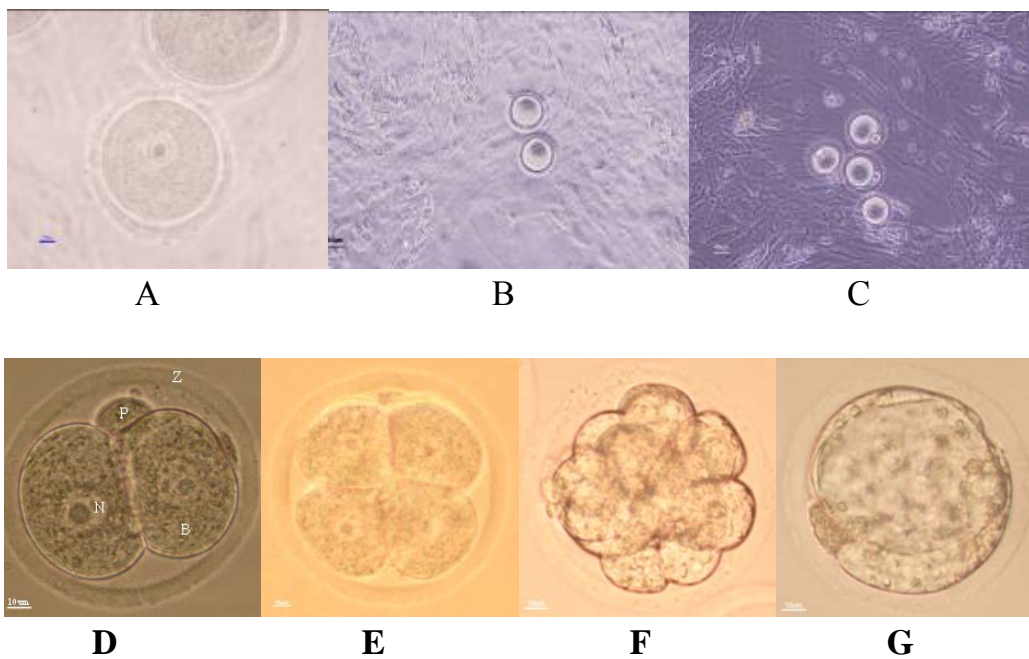
*: $P<0/05$, **: $P<0/01$, ***: $P<0/001$, ****: $P<0/0001$



نمودار ۱. مقایسه درصد تشکیل جینینهای دو سلولی در گروههای مورد مطالعه. A : گروه کنترل ۱، B : گروه کنترل ۲ (محیط بلوغ با همکشتی سلولهای گرانولوزا)، C : گروه شم (۰/۲ درصد (حجمی / حجمی) اتانل، حلال)، D : گروه آزمون ۱ (۰/۲ میکرومولا رتینوئیک اسید)، E : گروه آزمون ۲ (۰/۲ میکرومولا رتینوئیک اسید، با همکشتی سلولهای گرانولوزا). حروف به کار رفته در بالای ستونها متعلق به گروهی است که نسبت به آن اختلاف معنی دار مشاهده شده است.
*: P<0.05, **: P<0.01, ***: P<0.001, ****: P<0.0001



نمودار ۲. مقایسه درصد تشکیل جینینهای بلاستوسیست در گروههای مورد مطالعه. A : گروه کنترل ۱، B : گروه کنترل ۲ (محیط بلوغ با همکشتی سلولهای گرانولوزا)، C : گروه شم (۰/۲ درصد (حجمی / حجمی) اتانل، حلال)، D : گروه آزمون ۱ (۰/۲ میکرومولا رتینوئیک اسید)، E : گروه آزمون ۲ (۰/۲ میکرومولا رتینوئیک اسید، با همکشتی سلولهای گرانولوزا). حروف به کار رفته در بالای ستونها متعلق به گروهی است که نسبت به آن اختلاف معنی دار مشاهده شده است.
*: P<0.05, **: P<0.01, ***: P<0.001, ****: P<0.0001



شکل ۱. تخمک نارس موش یا GV

، خورد شدن حباب زاینده یا GVBD

A: Germinal Vesicle
B: Germinal Vesicle Breakdown
C: جنین ۲سلولی یا MII - 2-Cell
D: Metaphase II یا Z-Cell
E: جنین ۴سلولی یا 4-Cell
F: Morula یا Blastomeres
G: Late blastocyst یا هسته، جنین بلاستوسيست یا B: بزرگنمایی شکلهای سایر اشکال: $\times 400$

دهند. بنابراین در این تحقیق تلاش شده است تا یک مدل موشی مناسب با قابلیت بلوغ میوزی تخمک در آزمایشگاه ایجاد شود تا بتوان نتایج حاصل از این طرح را به مراکز باروری و ناباروری تعمیم داد، از آنجاییکه از تخمکهای برهمه جهت تزریق درون سیتوپلاسمی اسپرم (ICSI) استفاده می شود، در این میان گاهی اوقات تعدادی از این تخمک ها بشکل نابالغ و برهمه میباشد و به بنتر می رسد بلوغ این تخمکها با هم کشتی سلولهای گرانولوزا باضافه رتینوییک اسید تسریع بشود. سلولهای گرانولوزای اویداتکی انتخاب فیزیولوژیکی مناسبی برای هم کشتی هستند، زیرا به طور طبیعی در فولیکول درحال توسعه وجود دارند و نقش مهمی در فرایند بلوغ تخمک از طریق تأثیر تنظیمی روی محیط احاطه کننده تخمکهای نابالغ ایفا می کنند [۱۵]. همانطور که

بحث

نتایج مطالعه حاضر نشان می دهد که استفاده از هم کشتی سلولهای گرانولوزا [۱۶] به همراه t-RA در هنگام بلوغ تخمک رشد و نمو تخمکهای موشی را بهبود می بخشد. در این مطالعه از ۲۴۴۹ تخمک نابالغ موشی جهت ارزیابی تأثیرات هم کشتی سلولهای گرانولوزا به همراه ۲ میکرو مولار t-RA در بلوغ آزمایشگاهی تخمک نارس موش و رشد و نمو رویانی تا مرحله بلاستوسيست استفاده شد. به گونه ای که تعداد تخمکهایی که به مرحله بلوغ رسیده بودند نسبت به گروه کنترل قادر هم کشتی سلولهای گرانولوزا افزایش پیدا کردند. در حقیقت تخمکهای بلوغ یافته در غیاب هم کشتی سلولهای گرانولوزا به همراه t-RA میزان بلوغ کمتر و به دنبال آن رشد و نمو ضعیفتری را تا مرحله بلاستوسيست نشان می

رتینوئیک اسید در رت، انسان و موش هستند [۲۰]. در پایان می توان نتیجه گیری کرد که استفاده از مونولایر سلولهای گرانولوزا برای توسعه محیط کشت و افزایش میزان بلوغ تخمک ظاهرا بسیار نوید دهنده است. بنابراین استفاده از رتینوئیک اسید همه ترانس زمانی که همراه با تک لایه سلولهای گرانولوزا باشد می تواند بلوغ تخمک و رشد و نمو in vitro رویانهای موشی به دست آمده از لقاح آنها را تا مرحله بلاستوسیست بهبود بخشد. مطالعات بیشتر باید برای واضح کردن مکانیسمهای درگیر در هم کشته سلولهای گرانولوزا و بلوغ تخمک در حضور t-RA انجام شوند.

تقدیر و تشکر

کلیه هزینه‌های طرح حاضر از بودجه طرح بلوغ تخمک معاونت پژوهشی پژوهشکده رویان تأمین شده است. برخود فرض می‌داریم که تشکر خود را از خانم برکتی به خاطر همکاری صمیمانه در انجام تحقیق و سرکار خانم نبوی برای انجام امور آنالیز آماری اعلام داریم.

در این مطالعه نشان داده است هم کشته با سلولهای گرانولوزا یک تأثیر مفید روی بلوغ میوزی تخمک دارد، بنابراین احتمال می رود سلولهای گرانولوزا بتوانند بعضی از فاکتورهای برآه اندازندۀ میوز را در محیط کشت ترشح کنند [۱۴]. رتینوئیدها از جمله RA متابولیت ویتامین A هستند که از عوامل ضروری در باروری مردان و زنان هستند [۱۶]. RA که قبیل از بلوغ به تخمک داده می شود بر تخمک تأثیر می گذارد، علاوه بر آن می تواند فعالیت ترجمه را در کمپلکس تخمک- کومولوس (COC) تغییر دهد که این امر به طور مستقیم بر تخمک یا گرانولوزای اطراف کومولوس یا هردوى آنها اثر دارد و در یک روش اتوکرینی یا پاراکرینی اعمال می شود [۹ و ۱۷]. اخیرا بیشتر گیرنده‌های هسته‌ای RA شامل RAR α ، RAR β ، RAR γ ، RXR α ، RXR β ، RXR γ ، رتینالدئید دهیدروژناز و پراکسیزوم پرولیفرات در تخمکهای گاوی، سلولهای کومولوس [۱۲] و رویانها [۱۸] ردیابی شدند. از طرف دیگر سلولهای گرانولوزای رت از همه ترانس رتینول، رتینوئیک اسید سنتز می کنند [۱۹]. وجود گیرنده‌های RAR در سلولهای گرانولوزا نشان دهنده آن است که این سلولها اهداف

References

1. Krisher RL. The effect of oocyte quality on development. J Anim Sci 2004; 82: E14-E23.
2. Trounson A, Wood C, Kausche A. In vitro maturation and the fertilization and developmental competence of oocytes recovered from untreated polycystic ovarian patients. Fertil Steril 1994; 62: 353-62.
3. Chanson A, Nocera D, Senn A, Grand P , Germond M. Development of a well- defined medium for the in vitro maturation of immature bovine cumulus –oocyte complexes. J Assist Reprod Genet 2001; 18: 209-15.
4. Rief S, Sinowitz F, Stojkovic M, Einspanier R, Wolf E, Prell K. A novel co-culture system affects development, metabolism and gene expression of in vitro produced bovine embryos. Reproduction 2002; 124: 543-56
5. Molavi F, Hosseini S, Kazemi Ashtiani S, Shahverdi A, Nasr- Esfahani M. Can Vero cell co-culture improve in vitro maturation of bovine oocytes? Reproductive Bio Medicine online. 2006; 3: 404-11.
6. Joo Bs, Kim MK, Na YJ, Moon HS, Lee Ks, Kim HD. The mechanism of co-culture on embryo development in the mouse model: direct embryo to-cell contact and the removal of deleterious components. Fertil Steril 2001; 72: 193-9.
7. Kim YB, Ahn SH, Chang DY, Koh JW. Vero

- cell co-culture counteracts the detrimental effects of hydrosalpinx fluid on the development of mouse embryos in vitro. *J Korean Med Sci* 2002; 17: 217-9.
8. **Lee YL, Xu JS, Chan St Ho Pc, Yeung WS.** Vero cells, but not oviduct cells, increase the hatching frequency and total cell count of mouse blastocysts partly by changing energy substrate concentrations in culture medium. *J Assist Reprod* 2001; 18: 566-74.
 9. **Duque P, Diez C, Royo L, Lorenzo PL, Carneiro G, Hidalgo CO, Facal N, Gomez E.** Enhancement of developmental capacity of meiotically inhibited bovine oocytes by retinoic acid. *Hum Reprod* 2002;17: 2706-14.
 10. **Tracay Livingston, Down Eberhardt, J Lannett, , Edwards A:** Retinol improves bovine embryonic development in vitro. *J Reprod Biol Endocrinol* 2004; 21:83.
 11. **Morris-Kay GM, Ward SJ.** Retinoid and mammalian development. *Int Rev Cytol* 1999; 188: 73–131.
 12. **Mohan M, Thirumalapura NR, Malayer J.** Bovine cumulus-granulosa cells contain biologically active retinoid receptors that can respond to retinoic acid. *Reprod Biol Endocrinol* 2003; 1: 104-9
 13. **Eimani H, Tahaei LS, Kazemi S, Shahverdi A, Eftekhari P, Baharvand H.** Effect of retinoic acid on maturation and development of immature mouse oocytes and resulted embryo from their fertilization in vitro. *Yakhteh Med J* 2007; 9: 7-14.
 14. **Alexis Heng, Boon Chin , Ng Soon Chye.** Investigations of oocyte in vitro maturation within a mouse model. *J Zygote* 2004; 12: 1-18.
 15. **Byskov A.G, Yding-Andersen C, Hossaini A, Guoling X.** Cumulus cells of oocytes – cumulus complexes secrete a meiosis- activating substance when stimulated with FSH. *Mol Reprod*. 1997; 46: 296-305.
 16. **Moore T.** Vitamin A. Amsterdam: Elsevier Publishing Company, 1957.
 17. **Hidalgo CO, Diez C, Duque P, Facal N, Gomez E.** Pregnancies and improved early embryonic development with bovine oocytes matured in vitro with 9-cis-retionic acid. *Reproduction* 2003; 125: 409-16.
 18. **Mohan M, Malayer JR, Geisert RD, Morgan GL.** Expression of retinol binding protein messenger RNA and retinoic acid receptors in reattachment bovine embryos. *Mol Reprod Dev* 2001; 60: 289-96.
 19. **Zheng WI, Bueeo RA, Sierra-Rievera E, Osteen KG, Melner MH, Ong DE.** Synthesis of retinoic acid by rat ovarian cells that express cellular retinoic acid – binding protein -II. *Biol Reprod* 1999; 60: 110-114.
 20. **Zhuang YH, Ylikomi T, Lindfors M, Piippo S, Tuohimaa P.** Immunolocalization of retinoic acid receptors in rat, mouse and human ovaries and uterus. *J Steroid Biochem Mol Biol* 1994; 48: 61-8.